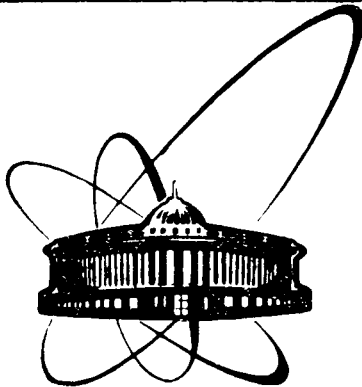


92-48



СООБЩЕНИЯ
ОБЪЕДИНЕННОГО
ИНСТИТУТА
ЯДЕРНЫХ
ИССЛЕДОВАНИЙ
ДУБНА

P2-92-48

И.В.Луценко*, А.Дж.Магакян, А.Н.Сисакян,
В.М.Тер-Антонян*

КЛАСТЕРИЗАЦИЯ КВАНТОВЫХ СОСТОЯНИЙ
В МОДЕЛИ ХАРТМАНА

*Ереванский государственный университет, г. Ереван

1992

В работе [1] был предложен подход , в рамках которого классические и квантовые смеси характеризуются парой параметров $(\bar{\beta}, \mathcal{L})$ – средней концентрацией признака и степенью неоднородности. Параметры $\bar{\beta}$ и \mathcal{L} в общем случае могут изменяться в пределах $\bar{\beta} \in [0, 1]$ и $\mathcal{L} = [0, 1 - \bar{\beta}]$, и потому каждая пара $(\bar{\beta}, \mathcal{L})$ определяет точку на специальной диаграмме состояний – прямоугольном треугольнике с единичными катетами.

Метод неоднородности привлекателен в двух отношениях. Во-первых , он визуализирует информацию о смеси , сводя все дело к размещению и передвижению точек на диаграмме состояний. Во-вторых , он универсален , т.е. применим к смесям совершенно различной конкретной природы.

В этой статье метод неоднородности используется для исследования важного класса квантовых смесей - межбазисных разложений. Межбазисное разложение определяется как соотношение

$$\Psi_b = \sum_a W_{ab} \Phi_a , \quad (1)$$

в котором Ψ_b и Φ_a - собственные функции некоммутирующих эрмитовых операторов \hat{b} и \hat{a} , соответствующие собственным значениям b и a . Подчеркнем, что базис $\{\Psi_b\}$ соответствует не одна смесь , а пакет смесей , нумеруемых индексом b , и , следовательно , не одна точка , а множество точек на диаграмме состояний. Примером межбазисного разложения служит ряд Клебша - Гордана [2], разложение Парка - Тартера [3] , а также другие аналогичные разложения из теории атома водорода [4] и изотропного осциллятора [5]. Полезность межбазисных разложений состоит в том , что они дают практически единственный систематический метод вычисления встречающихся в приложениях матричных элементов операторов по смешанным базисам.

Обычно матрица W_{ab} - это сложное выражение, и в такой ситуации естественно прибегнуть к наглядным рецептам метода неоднородности. Сказанное относится и к той конкретной модели , которую мы собираемся исследовать в этой статье.

Рассмотрим предложенную впервые Хартманом [6] нерелятивистскую квантовую модель с потенциалом

$$V = -\frac{\alpha}{r} + \frac{\Lambda}{r^2 \sin^2(\theta)} .$$

Здесь α и Λ - неотрицательные постоянные, θ - угол между осью Z и радиус-вектором

частицы. В этой модели есть два базиса - полные наборы решений уравнения Шредингера в параболических и в сферических координатах. Эти базисы исследовались в работах [7, 8], а также - с несколько иных позиций - в работах [9, 10].

В работе [11] было показано, что матрица $W_{ab}(\Lambda)$ для соответствующего межбазисного разложения выражается через обобщенную гипергеометрическую функцию ${}_3F_2$ и в пределе $\Lambda = 0$ переходит в известную матрицу Тартера [3]. Основываясь на этом результате, можно прийти к выводу, что матрица $W_{ab}(\Lambda)$ получается из матрицы $W_{ab}(\Lambda = 0)$ с помощью подстановок

$$n \rightarrow n + \delta_m, \quad l \rightarrow l + \delta_m, \quad |m| \rightarrow |m| + \delta_m,$$

в которых n, l и m - главное, орбитальное и магнитное квантовые числа из теории атома водорода, а $\delta_m = \sqrt{m^2 + 2\Lambda - |m|}$. Таким образом, в модели Хартмана матрица W_{ab} имеет вид

$$W_{n_1 n_2}^{lm}(\Lambda) =$$

$$\sqrt{\frac{(2l+1+2\delta_m)\Gamma(l+|m|+1+2\delta_m)\Gamma(n_1+|m|+1+\delta_m)\Gamma(n_2+|m|+1+\delta_m)}{n_1!n_2!(l-|m|)!(n-l-1)!\Gamma(n+l+1+2\delta_m)}}$$

$$\frac{(n-|m|-1)!}{\Gamma(|m|+1+\delta_m)} {}_3F_2 \left\{ \begin{matrix} -l+|m|, l+|m|+1+2\delta_m, -n_1 \\ |m|+1+\delta_m, |m|+1-n \end{matrix} \middle| 1 \right\}. \quad (2)$$

Соответственно, суммирование в (2) ведется по целым значениям l от $|m|$ до $n-1$. Индексы n_1 и n_2 - параболические квантовые числа атома водорода [12].

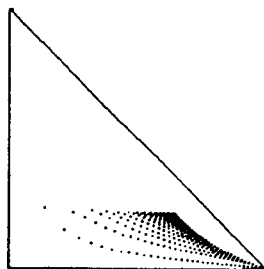
Согласно работе [1] $\bar{\beta} = \bar{a}/a_M$, где $\bar{a} = \sum_a a|W_{ab}|^2$ и через a_M обозначено максимальное значение величины a в сумме (1). Критерий неоднородности дается выражением [1]:

$$\mathcal{L}_b = \sum_{a=a_0}^{[\bar{a}]} \left(1 - \frac{a}{\bar{a}}\right) |W_{ab}|^2. \quad (3)$$

Суммирование в (3) ведется по a от минимального значения a_0 до $[\bar{a}]$, т.е. целой части от \bar{a} .

В модели Хартмана величины $\bar{\beta}$ и \mathcal{L} невозможно вычислить аналитически. Некоторые результаты численных расчетов представлены нами на рисунках 1 - 5. Рисунок 1 дает общее представление о картине неоднородности смеси.

Рис. 1. Атом водорода, $n = 35$.



Выведенная на этом рисунке фигура - это своеобразный портрет случайного вырождения, присущего атому водорода. Расчеты показывают, что в общих чертах эта картина не меняется с ростом n ; увеличивается лишь средняя плотность точек в ней. Сравнение рисунков 2, 3 и 4 дает представление о процессах, происходящих в пакетах смесей с $n = 10$ при изменении параметра Λ .

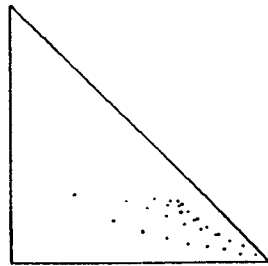


Рис. 2. Атом водорода, $n = 10$.

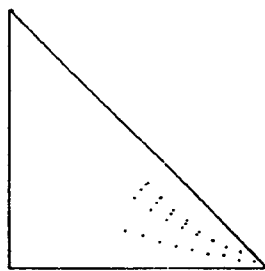


Рис. 3. Модель Хартмана, $n = 10, \Lambda = 100$. Организуются $|m|$ -кластеры. Замечен поворот $|m|$ -кластеров.

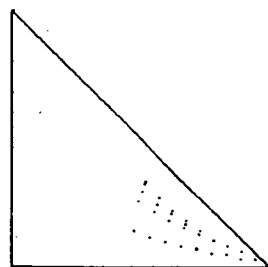


Рис. 4. Модель Хартмана, $n = 10, \Lambda = 500$. Поворот кластеров выражен сильнее, чем на предыдущем рисунке.

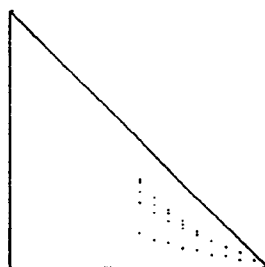


Рис. 5. Модель Хартмана, $n = 10, \Lambda = \infty$. $|m|$ -кластеры переходят в эквидистантно расположенные $\bar{\beta}$ -кластеры.

На этих рисунках изображены картины неоднородности, относящиеся к значениям параметра $\Lambda = 0, 100$ и 500 . Довольно четко вырисовываются три процесса: группировка смесей в кластеры, поворот всех кластеров против часовой стрелки и выпрямление кластеров. Как показывает численный анализ, каждому кластеру соответствует определенное значение $|m|$.

Выясним картину неоднородности в пределе $\Lambda = \infty$. Обозначив матрицу (2) в этом пределе через $W_{ab}^{(\nu)}$ (здесь $a = l - |m|$, $b = n_2$, $\nu = n_1 + n_2$), имеем

$$W_{ab}^{(\nu)} = \frac{2^a}{2^{\frac{l}{2}}} \sqrt{\frac{(\nu - a)! b!}{(\nu - b)! a! (b - a)!}} F(-a, \nu - a + 1, b - a + 1, \frac{1}{2}). \quad (4)$$

Последняя формула позволяет установить окончательный вид картины неоднородности в пределе $\Lambda = \infty$. Для частного случая пакета смесей с $n = 10$ соответствующая информация нанесена на рисунок 5. Из этого рисунка мы видим следующее : (a) все $|m|$ -кластеры выпрямляются и ориентируются в вертикальном направлении, т.е. переходят в кластеры с данными значениями $\bar{\beta}$; (b) расположение $\bar{\beta}$ -кластеров эквидистантно и при фиксированном n зависит лишь от значений $|m|$, принимаемых величиной $|m|$; (c) при $m = 0$, независимо от значений n , самый левый $\bar{\beta}$ -кластер занимает положение $\bar{\beta} = 1/2$, самому правому (одноточечному) кластеру соответствует значение $|m| = n - 1$; (d) расстояние между соседними $\bar{\beta}$ -кластерами не зависит от $|m|$ и меняется с изменением n (последнее, конечно, не видно на рисунке 5, а следует из сравнения рисунков, относящихся к разным n и к $\Lambda = \infty$, которые мы здесь ради краткости не приводим).

Из свойства эквидистантности следует, что $\bar{\beta}$ является линейной функцией от $|m|$, которая при $m = 0$ и $|m| = n - 1$ равна $1/2$ и 1 соответственно. Все это говорит о том, что

$$\bar{\beta} = \frac{1}{2} + \frac{|m|}{2(n-1)}. \quad (5)$$

Итак, в модели Хартмана в пределе $\Lambda = \infty$ происходит $\bar{\beta}$ -кластеризация состояний неоднородности.

Формула (5) получена нами из анализа поведения точек на диаграмме состояний, и в этом смысле она носит феноменологический характер. Для выяснения того, что она отражает с позиции теории, воспользуемся следующим представлением для матриц вращений Вигнера [2]:

$$d_{MM'}^j\left(\frac{\pi}{2}\right) = \frac{\xi_{MM'}}{p! \sqrt{2^{p+q}}} \sqrt{\frac{(s+p+q)!(s+p)!}{s!(s+q)!}} F(-s, s+p+q+1, p+1, \frac{1}{2}), \quad (6)$$

в котором $p = |M - M'|$, $q = |M + M'|$, $s = j - (p+q)/2$, а фактор $\xi_{MM'}$ равен единице при $M' \geq M$ и равен $(-1)^{M'-M}$ при $M' < M$. Сравнивая (4) с (6) видим, что

$$W_{ab}^{(\nu)} = \xi_{ab} d_{\frac{l}{2}-a, \frac{\nu}{2}-b}^{\frac{\nu}{2}}\left(\frac{\pi}{2}\right).$$

Это представление для матрицы $W_{ab}^{(\nu)}$ полезно тем, что позволяет воспользоваться соотношением

$$d_{MM'}^j\left(\frac{\pi}{2}\right) = (-1)^{j-M'} d_{-M,M'}^j\left(\frac{\pi}{2}\right)$$

и придет к свойству симметрии для матрицы $W_{ab}^{(\nu)}$:

$$W_{ab}^{(\nu)} = (-1)^b W_{\nu-a,b}^{(\nu)} . \quad (7)$$

Как отсюда видно, матрица $|W_{ab}^{(\nu)}|^2$ инвариантна относительно преобразования $a \rightarrow \nu - a$. Это значит, что матрица $|W_{ab}^{(\nu)}|^2$, если ее рассматривать как функцию от концентрации $\beta^{(a)} = a/\nu$, определена на отрезке $[0, 1]$ и симметрична относительно середины этого отрезка. Отсюда следует, что $\overline{\beta^{(a)}} = 1/2$, т.е. $\bar{a} = \nu/2 = (n - |m| - 1)/2$, и потому $\bar{\beta} = \bar{l}/(n - 1) = (\bar{a} + |m|)/(n - 1)$, что равнозначно формуле (5).

Итак, представленные на рисунках процессы и формула (5) являются следствием постепенного выхода системы в режим асимптотической ($\Lambda = \infty$) симметрии (6).

Закончим статью следующим соображением общего характера. Привлечение метода неоднородности к исследованию статистической информации, заложенной в межбазисных разложениях, ценно не только в силу наглядности этого метода. Метод неоднородности - это также инструмент, с помощью которого предсказываются новые результаты. Типичным примером, подтверждающим эвристическую ценность метода неоднородности, служит формула (5). Действительно, вряд ли иначе могла возникнуть сама идея об исследовании необычного для модели Хартмана предела $\Lambda \rightarrow \infty$. Межбазисные разложения, в свою очередь, являются незаменимым полигоном для испытания возможностей метода неоднородности, т.к. именно здесь реализуются одновременно два замечательных свойства: (a) работа ведется не с одной смесью, а сразу с пакетом смесей; (b) смеси снабжены собственным механизмом (в нашей задаче - за счет параметра Λ), способным менять состояние их неоднородности. Как первое, так и второе сильно повышает информативную емкость исследуемой задачи.

Мы благодарны С.И. Винницкому за полезные обсуждения затронутых в этой статье вопросов.

Литература

- [1] И.Луценко, В.Тер-Антонян.ОИЯИ, Р2-90-109, Дубна, 1990.
- [2] Д.Варшалович, А.Москалев, В.Херсонский. Квантовая теория углового момента. Ленинград, Наука, 1975.
- [3] D.Park.Zs.Phys., **159**,155,1960;
C.Tarter.J.Math.Phys.,**11**,3192,1970.
- [4] L.Mardoyan, G.Pogosyan, A.Sissakian, V.Ter-Antonyan.J.Phys **A16**, 711,1983.
- [5] G.Pogosyan, Ya.Smorodinsky, V.Ter-Antonyan.J.Phys.,**A14**,769,1981.
- [6] H.Hartman.Theor.Chem.Acta **24**,201,1972.
- [7] H.Hartman,Int.I.of Quant.Chem. **18**,125,1980.
- [8] C.Gerry,Phys.Lett. **A118**,445,1982.
- [9] M.Kibler, P.Winternitz.J.Phys.,**A20**,4097,1987.
- [10]C.Quisne,J.Phys.,**A21**,3093,1988.
- [11]И.Луценко, Г.Погосян, А.Сисакян, В.Тер-Антонян.ТМФ,**83**,419,1990.
- [12]Л.Д.Ландау, Е.М.Лифшиц,Квантовая механика, изд-во Наука, М., 1989.

Рукопись поступила в издательский отдел
7 февраля 1992 года.

Луценко И.В. и др.

P2-92-48

Кластеризация квантовых состояний
в модели Хартмана

Предсказан и объяснен эффект кластеризации кванто-
вых состояний в модели Хартмана.

Работа выполнена в Лаборатории теоретической физи-
ки ОИЯИ.

Сообщение Объединенного института ядерных исследований. Дубна 1992

Перевод Г.Г.Сандуковской

Lutsenko I.V. et al.

P2-92-48

Clusterisation of Quantum States
in the Hartmann Model

The effect of clusterisation of quantum states in
the Hartmann is predicted and explained.

The investigation has been performed at the Labora-
tory of Theoretical Physics, JINR.

Communication of the Joint Institute for Nuclear Research. Dubna 1992

17 коп.

Редактор Е.Б.Соболева. Макет Н.А.Киселевой.

Подписано в печать 13.02.92.

Формат 60x90/16. Офсетная печать. Уч.-изд.листов 0,58.

Тираж 490. Заказ 45069.

Издательский отдел Объединенного института ядерных исследований.
Дубна Московской области.